

## รายการอ้างอิง

1. จรววย บุญยุบล. การวางแผนและความเชื่อถือได้ของระบบไฟฟ้ากำลัง. คณะวิศวกรรมศาสตร์, จุฬาลงกรณ์มหาวิทยาลัย, 2534.
2. ธวัชชัย ทางรัตนสุวรรณ. การหาค่าความเชื่อถือได้ของระบบไฟฟ้ากำลังแบบผสมที่พิจารณาถึงการแก้ไขปัญหาเมื่อเกิดเหตุขัดข้องขึ้น. วิทยานิพนธ์ปริญญาโทมหาบัณฑิต จุฬาลงกรณ์มหาวิทยาลัย, 2538.
3. บัณฑิต อื้ออามรณ์. การศึกษาผลกระทบทางเศรษฐกิจเนื่องจากไฟฟ้าดับ. สถาบันวิจัยพลังงาน, จุฬาลงกรณ์มหาวิทยาลัย, 2539.
4. Billinton, R., and Goel, L. A procedure for evaluating Interrupted Energy Assessment Rates in an overall electric power systems. IEEE Transactions on Power Systems 6 (November 1991): 1396-1403.
5. Billinton, R., and Goel, L. Utilization of Interrupted Energy Assessment Rates to evaluate reliability worth in electric power systems. IEEE Transactions on Power Systems 8 (August 1993): 929-936.
6. Billinton, R., and Medicherla, T.K.P. Overall approach to the reliability evaluation of composite generation and transmission system. IEE Proceeding 127 (March 1980): 72-81.
7. Billinton, R., and Oteng-Adjei, J. Evaluation of Interrupted Energy Assessment Rates in composite system. IEEE Transaction on Power System 5 (November 1990): 1317-1323.
8. Billinton, R., and Oteng-Adjei, J. Utilization of Interrupted Energy Assessment Rates in generation and transmission system planning. IEEE Transactions on Power Systems 6 (August 1991): 1245-1253.
9. Billinton, R., and Allan, R.N. Reliability Evaluation of Power System. London : Pitman Advanced Publishing Program, 1984.
10. Billinton, R., and Allan, R.N. Reliability Assessment of Large Electric Power Systems. Boston : Kluwer Academic Publishers, 1988.
11. Billinton, R., and others. Contingency cut-off criteria in transmission system adequacy assessment. IEE Proceeding 136 (July 1989): 215-221.

12. Billinton, R., and Allan, R.N. Tutorial of power system reliability and its assessment Part2 composite generation and transmission systems. Power engineering journal (November 1992): 291-297.
13. Medicherla, T.K.P., Billinton, R., and Sachdev, M.S. Generation rescheduling and load shedding to alleviate line overloads - Analysis. IEEE Transactions on Power Apparatus and Systems PAS-98 (November/December 1979): 1876 -1884.
14. Medicherla, T.K.P., Billinton, R., and Sachdev, M.S. Generation rescheduling and load shedding to alleviate line overloads - System studies. IEEE Transactions on Power Apparatus and Systems PAS-100 (January 1981): 36-42.
15. Billinton, R., and Allan, R.N. Reliability Evaluation of Engineering System : Concept and Techniques. London : Pitman Advanced Publishing Program, 1985.
16. Billinton, R., and Kumer, S.A. Comparative study of system versus load point indices for bulk power system. IEEE Transactions on Power Systems PWRS-1 (August 1986): 148-156.
17. Stagg, B., and El-Abiad, A.H. Computer Methods in Power System Analysis. New York : McGraw-Hill, 1982.
18. Wood, A. J., and Wollenberg, B.F. Power Generation Operation and Control. New York :John Wiley, 1984.
19. Stott,B., and Alsac,O. Fast decoupled load flow. IEEE Transactions on Power Apparatus and Systems 93 (May/June 1974): 859-869.
20. Sherman,J., and Morrison, W.J. Adjustment of an inverse matrix corresponding to a change in one element of a given matrix, Annual Math. Stat. 21 (1950): 124-127.
21. Billinton, R., and others. A reliability test system for educational purposes-Basic data. IEEE Transactions on Power Apparatus and Systems 4 (August 1989): 1238 -1244.
22. IEEE Committee Report. IEEE Reliability Test System. IEEE Transactions on Power Apparatus and Systems PAS-98 (November/December 1979): 2047-2054.



ภาคผนวก

ศูนย์วิทยทรัพยากร  
จุฬาลงกรณ์มหาวิทยาลัย

## ภาคผนวก ก

### คู่มือการใช้งานโปรแกรม BULKREL

โปรแกรม BULKREL ได้ถูกพัฒนาขึ้นบนระบบไมโครคอมพิวเตอร์ขนาด 32 บิตด้วยภาษาซี พลัส พลัส เวอร์ชัน 3.1 ของบริษัทบอร์แลนด์

#### ก.1 คุณลักษณะของโปรแกรม BULKREL

1. เป็นโปรแกรมที่ทำงานบนเครื่องไมโครคอมพิวเตอร์ขนาด 32 บิตภายใต้ระบบปฏิบัติการดอส (Disk Operating System)
2. สามารถอ่านข้อมูลของระบบไฟฟ้าได้โดยการรับข้อมูลผ่านคีย์บอร์ด หรืออ่านจากไฟล์ที่เก็บไว้ในแผ่นดิสก์ (Diskette)
3. ใช้เทคนิคการระบุเหตุขัดข้องและการตรวจสอบเหตุขัดข้องเพื่อเลือกเหตุขัดข้องไปทดสอบ
4. จำนวนบัส สายส่งหรือหม้อแปลง และเครื่องกำเนิดไฟฟ้าสูงสุดที่สามารถคำนวณได้จะขึ้นอยู่กับขนาดหน่วยความจำของเครื่องไมโครคอมพิวเตอร์ที่ใช้งาน เนื่องจากโปรแกรมมีการจองหน่วยความจำแบบพลวัต (Dynamic allocation)
5. ใช้กฎเกณฑ์การตัดออก (Cut-off criteria) ที่ความน่าจะเป็นต่ำกว่า  $10^{-8}$  และความถี่ต่ำกว่า  $10^{-6}$
6. สามารถพิจารณาการขัดข้องของเครื่องกำเนิดไฟฟ้าถึงระดับ 4 พิจารณาการขัดข้องของสายส่งหรือหม้อแปลงถึงระดับ 2 และการขัดข้องของเครื่องกำเนิดไฟฟ้าร่วมกับสายส่งถึงระดับ 4 และสามารถพิจารณาการขัดข้องที่มีสาเหตุร่วมกันได้ด้วย
7. ใช้เทคนิคการวิเคราะห์ไหลดโพลว์แบบฟาสต์ดีคัปเปิล ที่ไม่ได้คำนึงถึงขีดจำกัดของกำลังรีแอกทีฟ และการวิเคราะห์ไหลดโพลว์แบบ ดี.ซี.
8. ใช้วิธีการจัดสรรกำลังการผลิตใหม่ และการตัดไหลดเพื่อแก้ไขปัญหาสายส่งมีไหลดเกิน หรือกำลังการผลิตมีไม่เพียงพอกับความต้องการใช้ไฟฟ้า
9. สามารถจัดแบ่งระดับความสำคัญของไหลดที่บัสต่าง ๆ ได้เป็น 3 ระดับได้แก่ ไหลดที่สามารถตัดได้ ไหลดหลัก และไหลดวิกฤติ

10. ใช้แบบจำลองความต้องการใช้ไฟฟ้าสูงสุดระดับเดียว โดยไม่ได้คำนึงถึงความไม่แน่นอนของการเติบโตของความต้องการใช้ไฟฟ้า

11. สามารถคำนวณค่าดัชนีความเชื่อถือได้ทั้งค่าบัส และค่าของระบบ ซึ่งประกอบด้วยค่าดัชนีดังต่อไปนี้

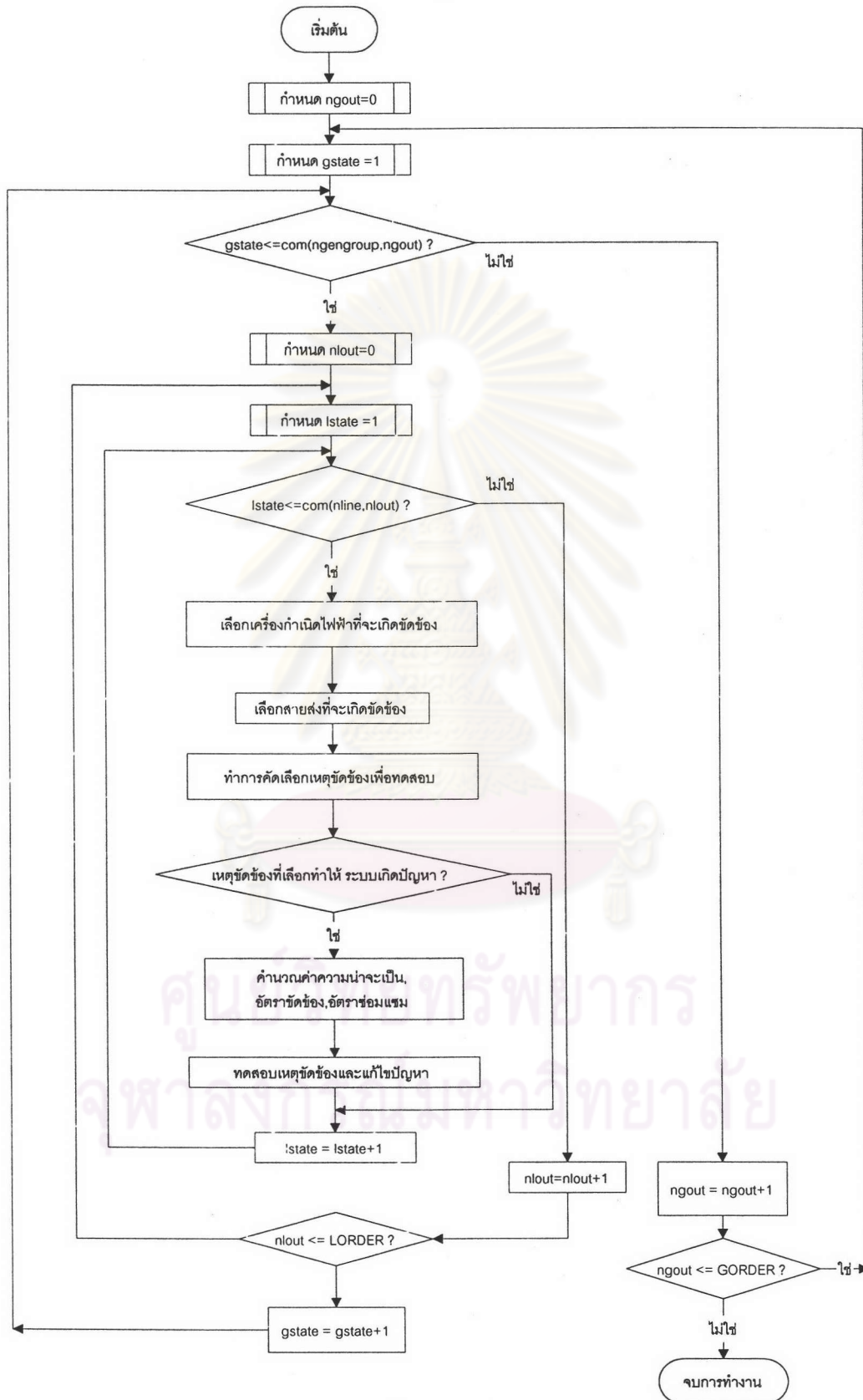
#### ค่าดัชนีบัส

- Probability of failure
- Expected frequency of failure
- Expected number of voltage violations
- Expected number of load curtailments
- Expected load curtailed
- Expected energy not supplied
- Expected duration of load curtailment
- Maximum load curtailed
- Maximum energy curtailed
- Maximum duration of load curtailment
- Average load curtailed
- Average energy not supplied
- Average duration of curtailment

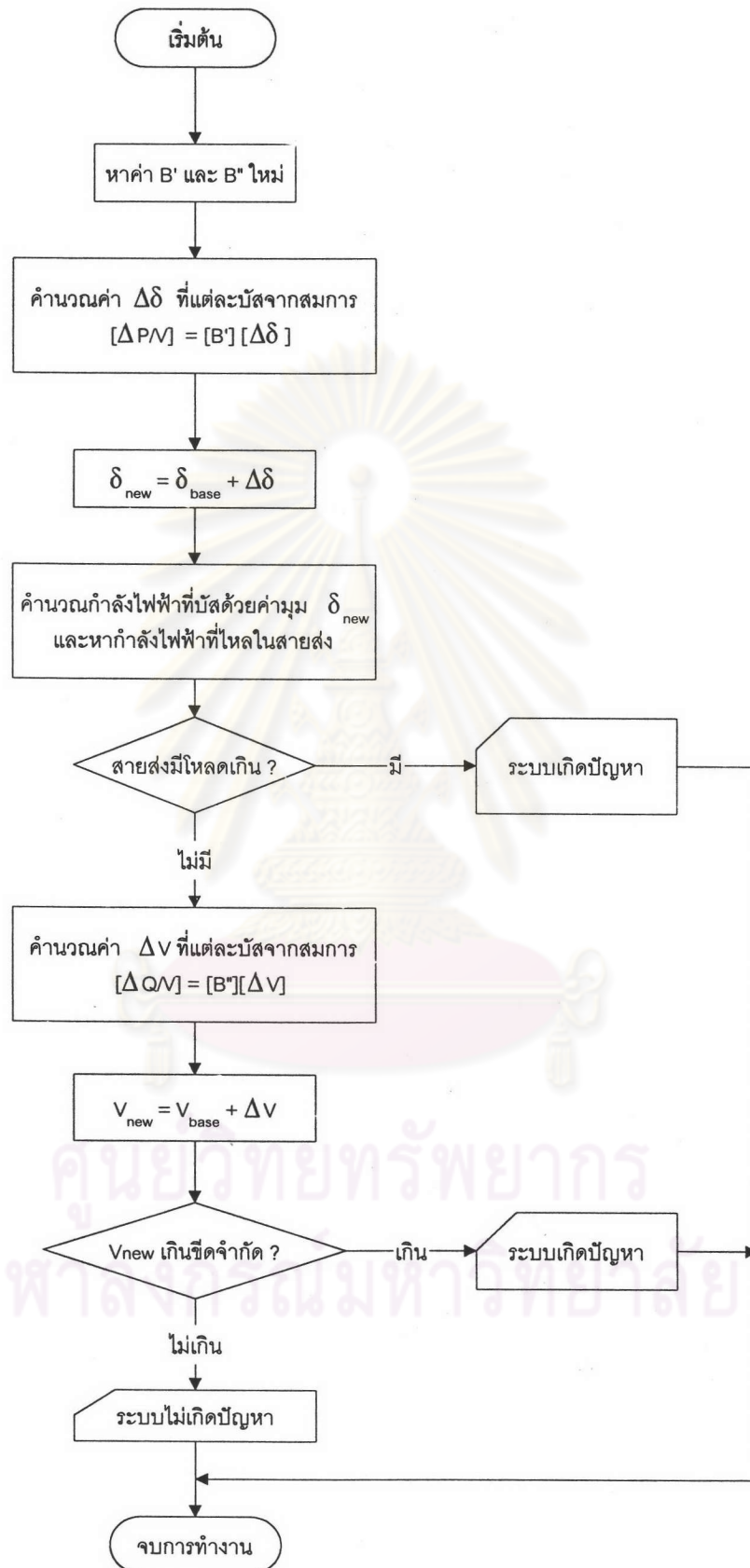
#### ค่าดัชนีระบบ

- Bulk power interruption index
- Bulk power supply average MW curtailment/disturbance
- Bulk power energy curtailment index
- Modified bulk power energy curtailment index
- Average number of curtailments/load point
- Average load curtailed/load point
- Average energy curtailed/load point
- Average duration of load curtailment/load point
- Average number of voltage violations/load point

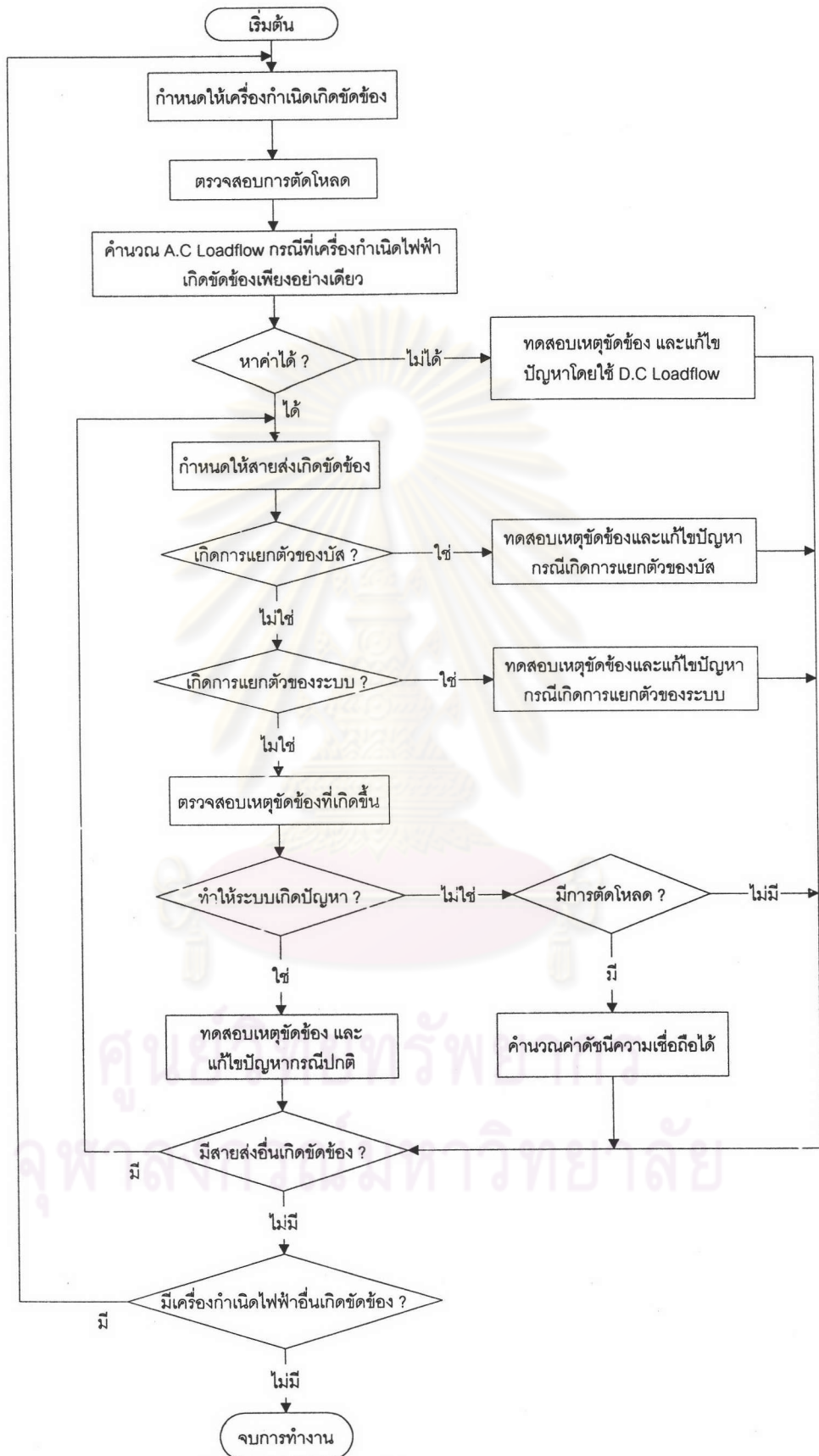
ก.2 แผนผังแสดงขั้นตอนการทำงานต่าง ๆ



รูปที่ ก.1 แผนผังแสดงขั้นตอนการกำหนดให้อุปกรณ์เกิดขัดข้อง

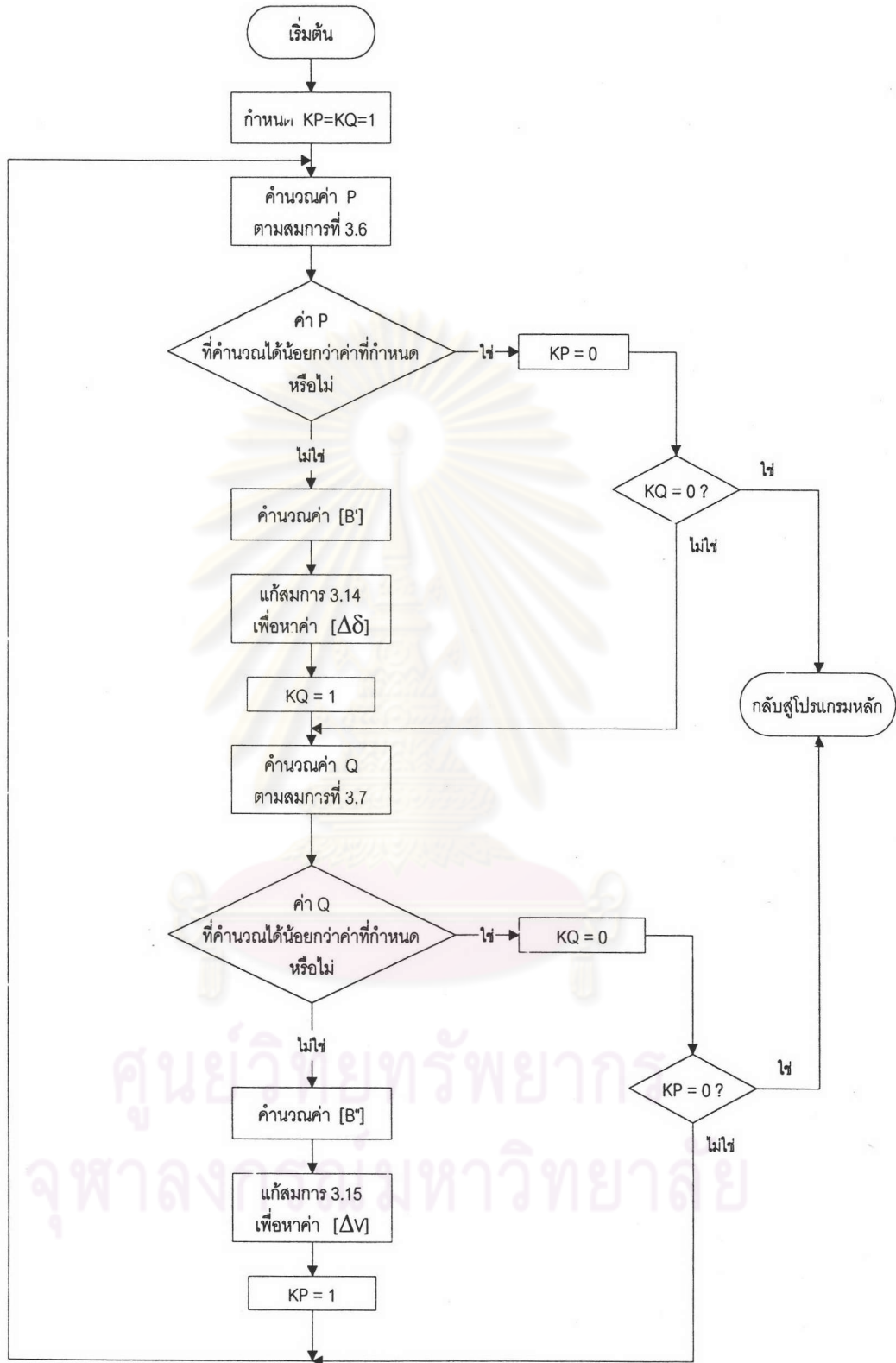


รูปที่ ก.2 แผนผังแสดงขั้นตอนการตรวจสอบเหตุขัดข้อง

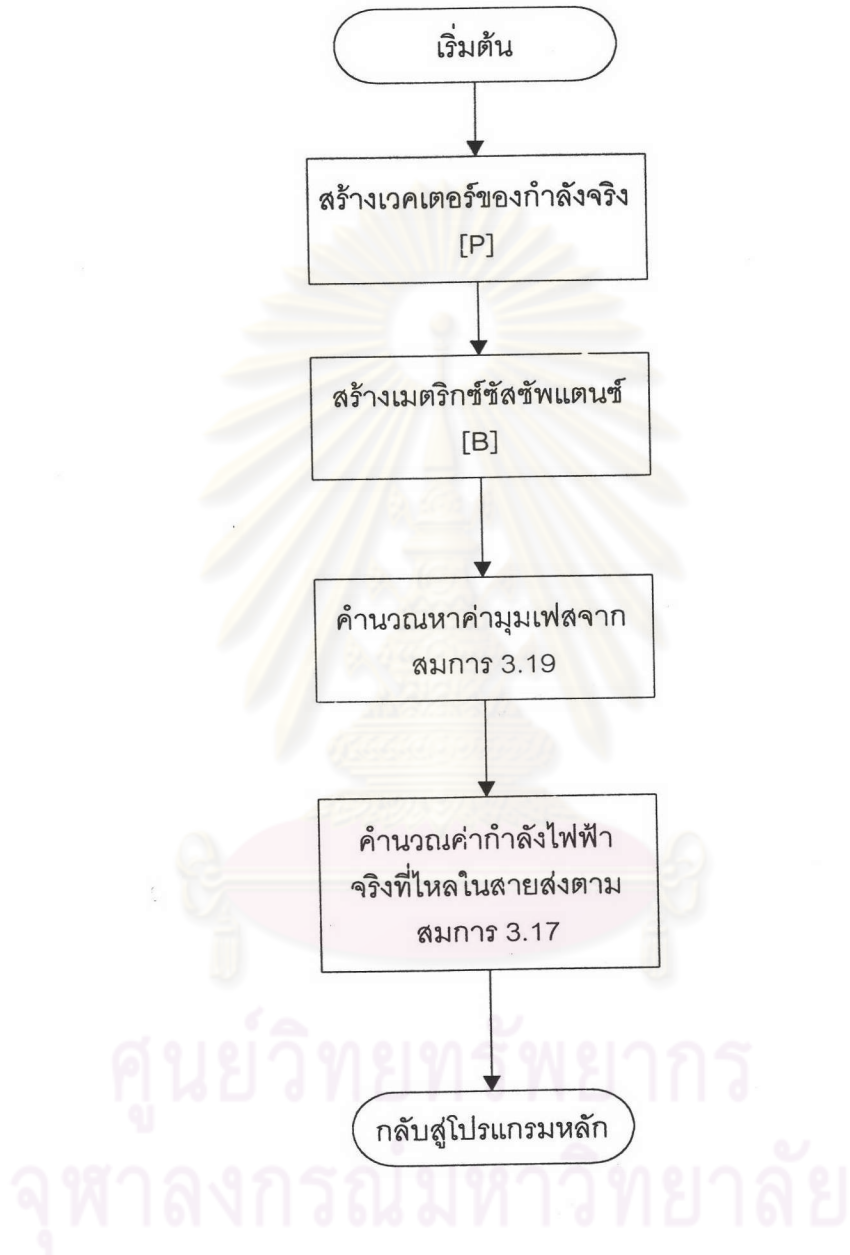


รูปที่ ก.3 แผนผังแสดงขั้นตอนการทดสอบเหตุขัดข้อง

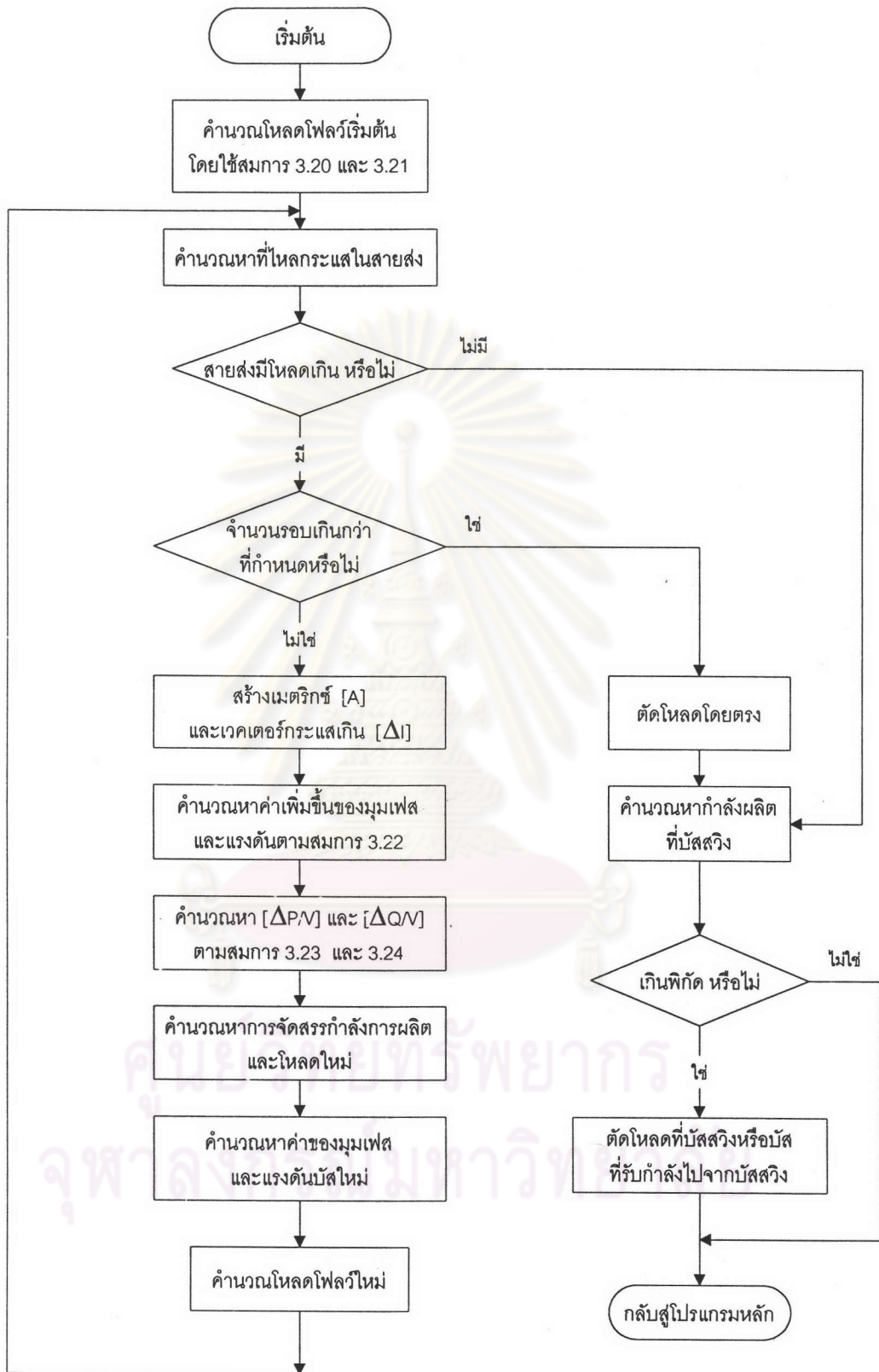




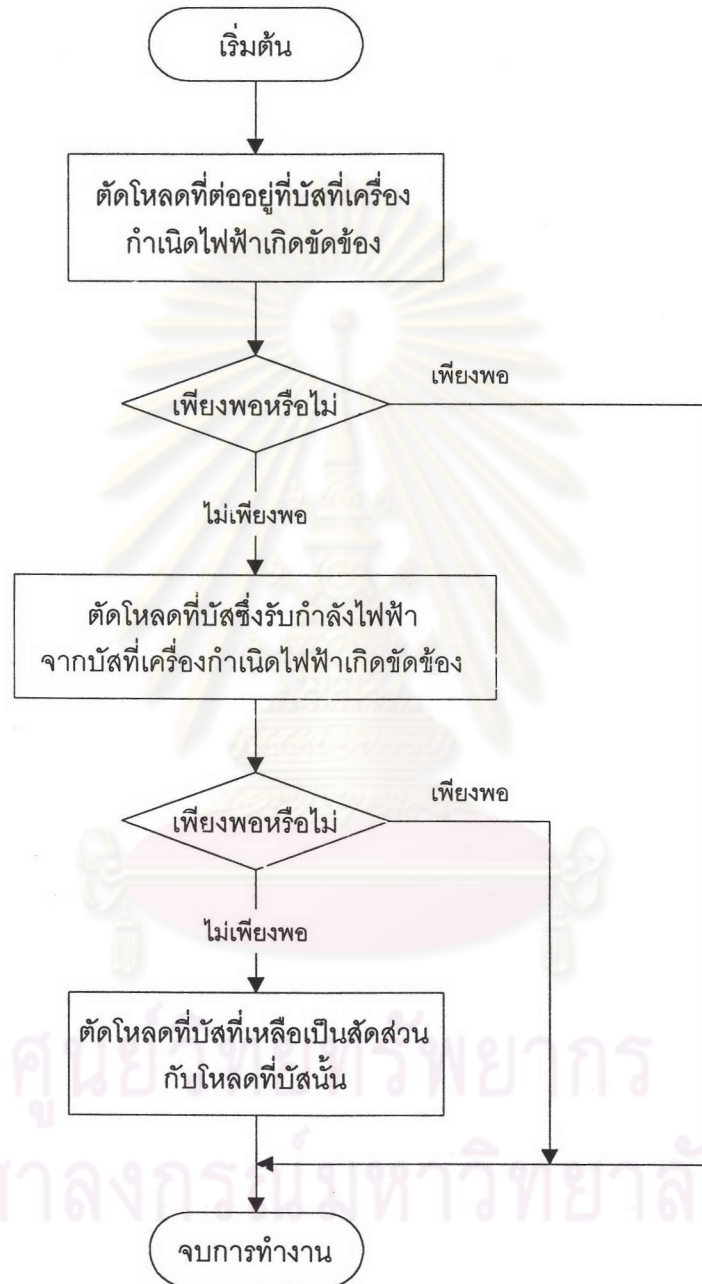
รูปที่ ก.4 แผนผังแสดงขั้นตอนการวิเคราะห์โหลดโพลวโดยวิธีฟาสต์คัปเปิล



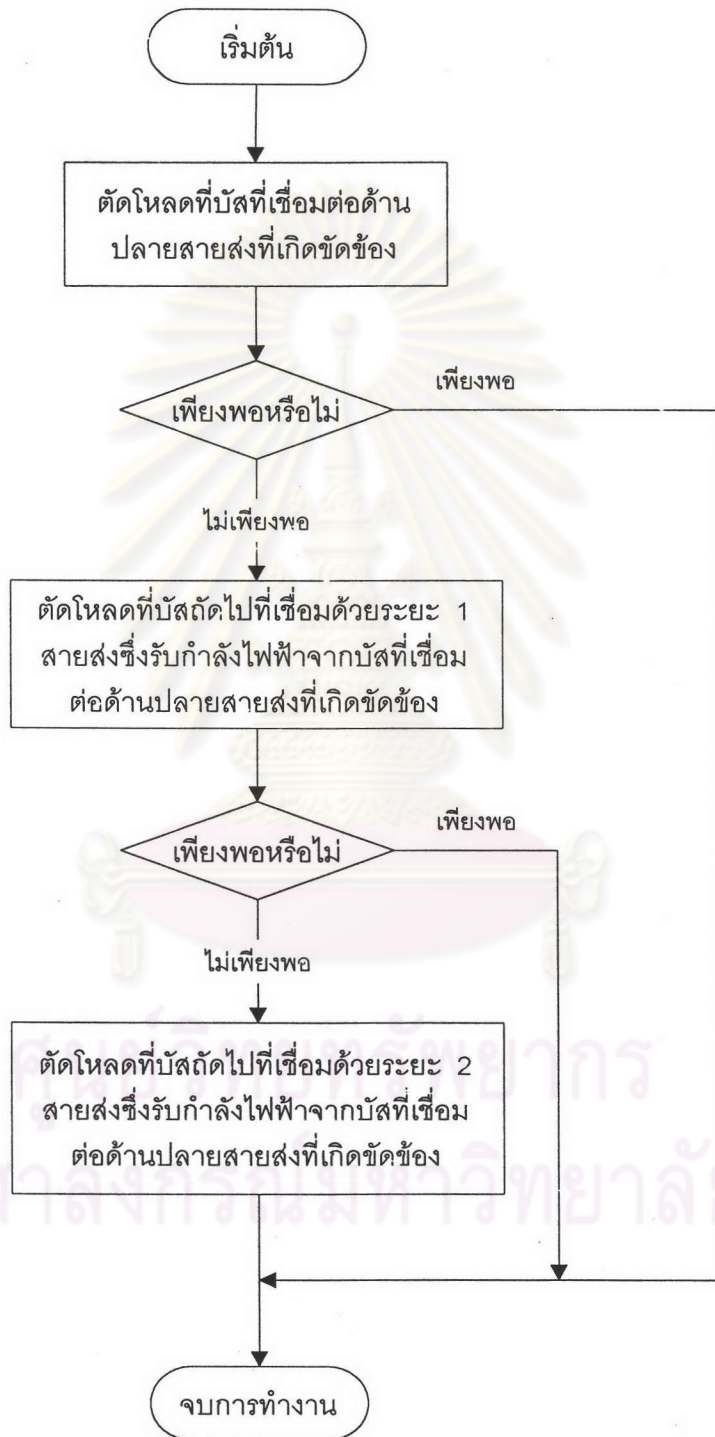
รูปที่ ก.5 แผนผังแสดงขั้นตอนการวิเคราะห์ไหลดโพล์แบบ ดี.ซี.



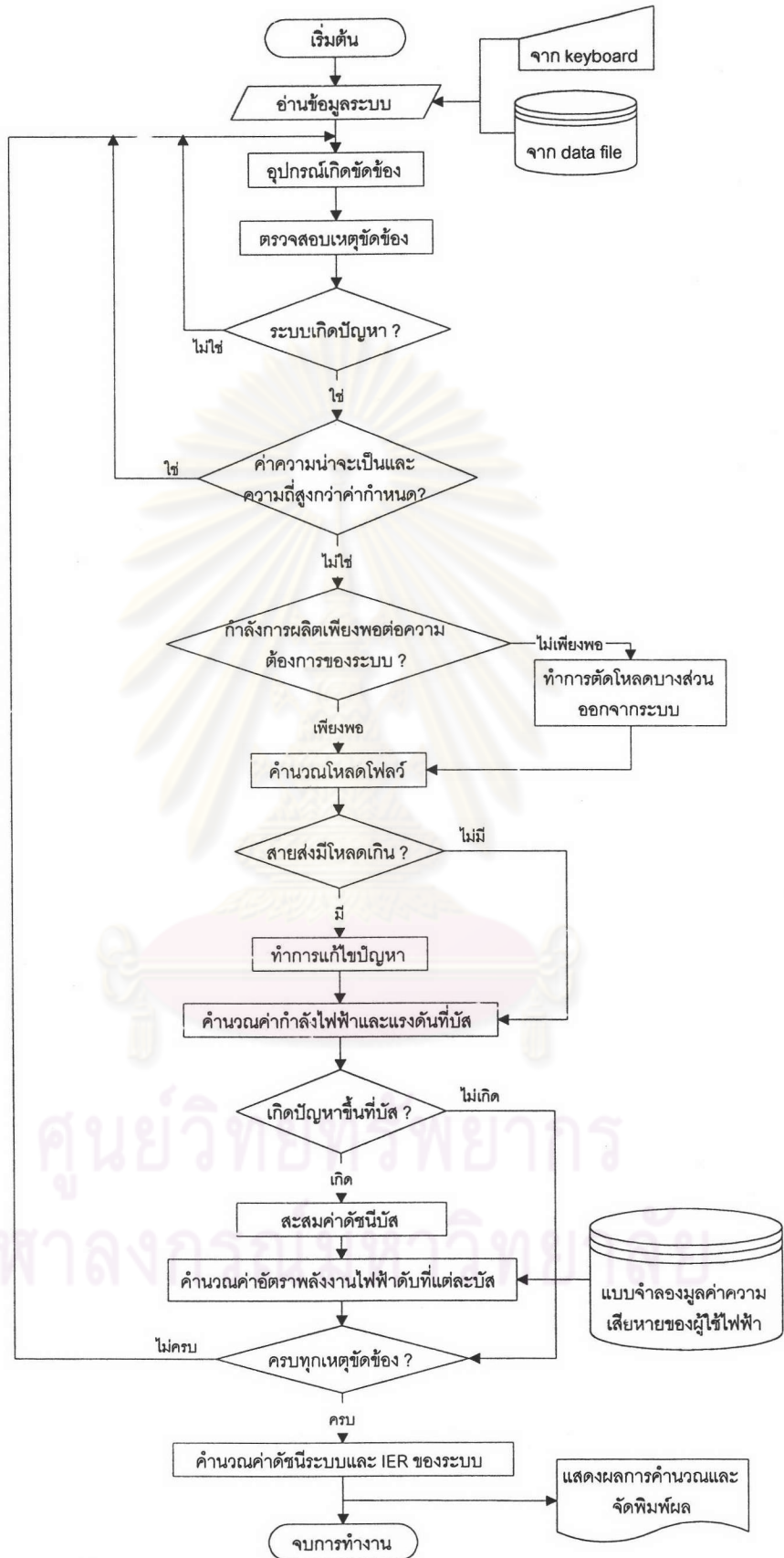
รูปที่ ก.6 แผนผังแสดงขั้นตอนการจัดสรรกำลังการผลิตใหม่ และการตัดโหลด



รูปที่ ก.7 แผนผังแสดงขั้นตอนการตัดโหลดกรณีกำลังผลิตมีไม่เพียงพอกับความต้องการโหลด



รูปที่ ก.8 แผนผังแสดงขั้นตอนการตัดโหลดกรณีเกิดเหตุขัดข้องในสายส่งไฟฟ้า  
และจัดสรรกำลังการผลิตและโหลดใหม่ไม่สามารถแก้ไขปัญหาคือ



รูปที่ ก.9 แผนผังแสดงขั้นตอนการคำนวณของโปรแกรม BULKREL

### ก.3 ขั้นตอนการใช้โปรแกรม BULKREL

1. ภายหลังจากทำการบูท (Boot) เครื่องเรียบร้อยแล้วจะปรากฏเครื่องหมายพร้อมรับคำสั่งดังรูปข้างล่าง

```
C :> _
```

2. เรียกใช้โปรแกรมโดยการพิมพ์คำว่า BULKREL ดังรูปข้างล่าง โดยที่ในไดรฟ์ C:

```
C :> BULKREL
```

จะต้องมีไฟล์ BULKREL.EXE อยู่ด้วย หลังจากนั้นกดปุ่ม ENTER

3. หลังจากทีกดปุ่ม ENTER แล้วจะปรากฏข้อความแสดงถึงผู้พัฒนาโปรแกรม ให้กดปุ่มใด ๆ บนคีย์บอร์ด

4. จากนั้นจะปรากฏข้อความให้ผู้ใช้นี้ระบบไฟฟ้าที่ต้องการทำการวิเคราะห์ดังรูป

```
Enter system name
```

5. เมื่อผู้ใช้นี้ระบบที่ต้องการแล้วจะปรากฏข้อความ ข้างล่าง

```
[1] Read data from disk
[2] Read data from keyboard
```

ให้ผู้ผู้ใช้เลือกโดยการกดหมายเลข 1 หรือ 2 อย่างไม่อย่างหนึ่งโดยที่

[1] หมายถึง ต้องการอ่านข้อมูลระบบไฟฟ้าจากแผ่นดิสก์ โดยข้อมูลของระบบไฟฟ้าจะเก็บอยู่ในไฟล์ต่าง ๆ ซึ่งมีนามสกุล ดังนี้

- ไฟล์นามสกุล .STM เก็บข้อมูลเกี่ยวกับระบบ
- ไฟล์นามสกุล .BUS เก็บข้อมูลเกี่ยวกับบัส
- ไฟล์นามสกุล .LIN เก็บข้อมูลเกี่ยวกับสายส่ง หรือหม้อแปลง

- ไฟล์นามสกุล .GEN เก็บข้อมูลเกี่ยวกับเครื่องกำเนิดไฟฟ้า
- ไฟล์นามสกุล .SHN เก็บข้อมูลเกี่ยวกับค่าชั้นท์แอดมิตแตนซ์
- ไฟล์นามสกุล .CMM เก็บข้อมูลเกี่ยวกับการเกิดเหตุขัดข้องที่มีสาเหตุร่วมกัน
- ไฟล์นามสกุล .CST เก็บข้อมูลแบบจำลองมูลค่าความเสียหายของผู้ใช้แต่ละประเภท

[2] หมายถึง ต้องการอ่านข้อมูลระบบไฟฟ้าโดยการป้อนผ่านทางคีย์บอร์ด

6. เมื่อผู้ใช้กดหมายเลข [1] คอมพิวเตอร์จะทำการอ่านข้อมูลตามชื่อที่ผู้ใช้ป้อนถ้าไม่มีไฟล์ข้อมูลระบบจะปรากฏข้อความ

File Not Exist !

Enter New System Name :

ให้ผู้ใช้ป้อนชื่อระบบไฟฟ้าที่ต้องการวิเคราะห์ใหม่

7. ถ้าหากมีไฟล์ข้อมูลระบบไฟฟ้าที่ต้องการวิเคราะห์อยู่ก็จะปรากฏเมนูดังรูปที่ ก.10 โดยที่แต่ละข้อมีความหมายดังนี้

Show System Data

- ใช้แสดงข้อมูลของระบบไฟฟ้า

Show Bus Data

- ใช้แสดงข้อมูลบัสของระบบไฟฟ้า

Show Transmission Line Data

- ใช้แสดงข้อมูลสายส่งของระบบไฟฟ้า

Show Genrating Unit Data

- ใช้แสดงข้อมูลเกี่ยวกับเครื่องกำเนิดไฟฟ้าของระบบไฟฟ้า

Show Shunt Data

- ใช้แสดงข้อมูลชั้นท์แอดมิตแตนซ์ของระบบไฟฟ้า

Show Common Mode Outage Data

- ใช้แสดงข้อมูลการขัดข้องที่มีสาเหตุร่วมกันของระบบไฟฟ้า



Main Menu

[A] Show System Data  
 [B] Show Bus Data  
 [C] Show Transmission Line Data  
 [D] Show Generating Unit Data  
 [E] Show Shunt Data  
 [F] Show Common Mode Outage Data  
 [O] Show Customer Damage Function Data  
 [S] Show Load Profile Data  
 [U] Show Sector Customer Load Data

[G] Correct System Data  
 [H] Correct Bus Data  
 [I] Correct Transmission Line Data  
 [J] Correct Generating Unit Data  
 [K] Correct Shunt Data  
 [L] Correct Common Mode Outage Data  
 [P] Correct Customer Damage Function Data  
 [V] Correct Load Profile Data  
 [T] Correct Sector Customer Load Data

[M] Calculate Reliability Indices  
 [N] Exit Program

Select Options :> \_

รูปที่ ก.10 เมนูของโปรแกรม BULKREL

Show Customer Damage Function Data

- ใช้แสดงข้อมูลมูลค่าความเสียหายของผู้ใช้ ไฟฟ้าแต่ละประเภท

Show Load Profile Data

- ใช้แสดงข้อมูลการแบ่งระดับความสำคัญของโหลดในระบบ ไฟฟ้า

Show Sector Customer Load Data

- ให้นำแสดงข้อมูลความต้องการใช้ไฟฟ้าที่แต่ละบัสในระบบไฟฟ้า

Correct System Data

- ให้นำแก้ไขข้อมูลของระบบไฟฟ้า

Correct Bus Data

- ให้นำแก้ไขข้อมูลบัสของระบบไฟฟ้า

Correct Transmission Line Data

- ให้นำแก้ไขข้อมูลสายส่งของระบบไฟฟ้า

Correct Genrating Unit Data

- ให้นำแก้ไขข้อมูลเกี่ยวกับเครื่องกำเนิดไฟฟ้าของระบบ ไฟฟ้า

Correct Shunt Data

- ให้นำแก้ไขข้อมูลชั้นที่แอดมิตแตนซ์ของระบบไฟฟ้า

Correct Common Mode Outage Data

- ให้นำแก้ไขข้อมูลการขัดข้องที่มีสาเหตุร่วมกัน ของระบบไฟฟ้า

Correct Customer Damage Function Data

- ให้นำแก้ไขมูลค่าความเสียหายของผู้ใช้ ไฟฟ้าแต่ละประเภท

Correct Load Profile Data

- แสดงข้อมูลการแบ่งระดับความสำคัญของโหลดในระบบไฟฟ้า

Correct Sector Customer Load Data

- แสดงข้อมูลความต้องการใช้ไฟฟ้าที่แต่ละบัสในระบบไฟฟ้า

Calculate Reliability Indices

- ใช้คำนวณค่าดัชนีความเชื่อถือได้และอัตราค่าพลังงานไฟฟ้าดับของระบบไฟฟ้า

Exit Program

- ออกจากโปรแกรม

8. เมื่อต้องการคำนวณค่าดัชนีความเชื่อถือได้และอัตราค่าพลังงานไฟฟ้าดับให้กดอักษร M โดยขณะที่โปรแกรมกำลังทำงานจะปรากฏข้อความดังนี้

|                        |   |
|------------------------|---|
| Contingency No.        | : |
| Probability of Failure | : |
| Frequency of Failure   | : |
| Generating Unit Outage | : |
| Line Outage            | : |

โดยที่

Contingency จะแสดงหมายเลขของเหตุขัดข้อง

Probability of Failure จะแสดงค่าความน่าจะเป็นของเหตุขัดข้องในแต่ละสถานะ

Frequency of Failure จะแสดงค่าความถี่ของเหตุขัดข้องในแต่ละสถานะ

Generating Unit Outage จะแสดงหมายเลขของเครื่องกำเนิดไฟฟ้าที่เกิดขัดข้อง

Line Outage จะแสดงหมายเลขของสายส่งไฟฟ้าที่เกิดขัดข้อง

9. หลังจากโปรแกรมทำงานเสร็จแล้ว โปรแกรมจะสรุปจำนวนเหตุขัดข้องที่เกิดขึ้นทั้งหมด และจำนวนเหตุขัดข้องที่ผ่านการทดสอบ รวมทั้งเวลาที่ใช้ในการคำนวณ ดังแสดงในรูปข้างล่างนี้

|                                |   |
|--------------------------------|---|
| Number of contingencies        | : |
| Number of contingencies tested | : |
| Total computation time         | : |

10. จากนั้นให้กดปุ่มใด ๆ ก็จะมีปรากฏเมนูหลักข้างล่างนี้

|                                    |
|------------------------------------|
| Reliability Indices                |
| [1] Show Annualized Bus Indices    |
| [2] Show Annualized System Indices |
| [3] Exit Program                   |
| Select option :> _                 |

- กต 1 เพื่อดูค่าดัชนีความเชื่อถือได้ของบัส  
 กต 2 เพื่อดูค่าดัชนีความเชื่อถือได้ของระบบ  
 กต 3 เพื่อออกจากโปรแกรม

11. เมื่อกดหมายเลข 1 ก็จะปรากฏเมนูย่อยดังนี้

Bus Indices

[0] Go back

[1] Show Annualized Bus Indices

[2] Show Maximum Load Curtailed

[3] Show Maximum Energy Curtailed

[4] Show Maximum Duration of Load Curtailment

[5] Show Average Value of Bus Indices

[6] Show Load Points IER.

Select option :> \_

Go back - กลับสู่เมนูหลัก

Show Annualized Bus Indices - แสดงค่าดัชนีบัส

Show Maximum Load Curtailed - แสดงค่าโหลดสูงสุดที่ถูกตัด

Show Maximum Energy Curtailed - แสดงค่าพลังงานสูงสุดที่ถูกตัด

Show Maximum Duration of Load Curtailment - แสดงช่วงเวลาที่ตัดโหลดสูงสุด

Show Average Value of Bus Indices - แสดงค่าดัชนีบัสเฉลี่ย

Show Load Points IER. - แสดงอัตราค่าพลังงานไฟฟ้าดับของบัส

12. เมื่อกดหมายเลข 2 จะปรากฏเมนูย่อยดังนี้

System Indices

[0] Go back

[1] Show Annualized System Indices

[2] Show Average System Indices

Select option :> \_

โดยที่

Go back - กลับสู่เมนูหลัก

Show Annualized System Indices - แสดงค่าดัชนีของระบบ

Show Average System Indices - แสดงค่าดัชนีเฉลี่ยของระบบ

13. นอกจากนี้ค่าดัชนีต่าง ๆ ยังเก็บไว้ในไฟล์ที่มีนามสกุล .DAT ด้วย เช่น RBTS.DAT จะเก็บผลของค่าดัชนีในระบบ RBTS เป็นต้น การเรียกเพื่อดูไฟล์นี้สามารถใช้ เอดิเตอร์ (Editor) ต่าง ๆ เปิดดูได้ เช่น Notepad ,Microsoft Word เป็นต้น

ศูนย์วิทยทรัพยากร  
จุฬาลงกรณ์มหาวิทยาลัย

## ภาคผนวก ข

### การจัดสรรกำลังการผลิตใหม่และการตัดโหลดโดยอาศัยเทคนิคของการวิเคราะห์โหลด ไฟลว์แบบฟาสต์ดีคัปเปิล

(Generation Rescheduling and Load Shedding by Fast Decoupled Load Flow  
Technique)

ปัญหาหนึ่งที่สำคัญที่เกิดขึ้นในการหาความเชื่อถือได้ของระบบไฟฟ้ากำลังขนาดใหญ่ คือการที่สายส่งมีโหลดเกิน โดยอาจจะเกิดจากการที่สายส่งสายหนึ่งหลุดออกไปจากระบบ ทำให้กำลังไฟฟ้าไหลผ่านสายส่งที่เหลือแทน จึงอาจทำให้สายส่งที่รับกำลังไฟฟ้าแทนนั้นเกิดโหลดเกินได้ ในทางปฏิบัติจะทำการแก้ไขได้โดยยอมให้สายส่งที่มีโหลดเกินนั้นทำงานต่อไปในสภาวะโหลดเกินได้ จึงทำให้ระบบมีความเชื่อถือได้ที่ดีกว่าความเป็นจริง ซึ่งจะทำให้ค่าดัชนีความเชื่อถือได้ที่คำนวณได้มีค่าต่ำกว่าความเป็นจริง (Optimistic indices) โดยเฉพาะกรณีที่เกิดโหลดเกินมากและเกินอยู่เป็นเวลานาน แต่ถ้าหากให้ทำการปลดสายส่งที่มีโหลดเกินนั้นออกไปจากระบบ แล้วจึงทำการวิเคราะห์ระบบที่เหลือจนกว่าจะไม่มีอุปกรณ์ใดมีโหลดเกินหรือจนกว่าระบบล้มเหลว จะทำให้ระบบมีความเชื่อถือได้ที่แย่กว่าความเป็นจริง ซึ่งจะทำให้ค่าดัชนีความเชื่อถือได้ที่คำนวณได้มีค่าสูงกว่าความเป็นจริง (Pessimistic indices) อาจจะทำให้ต้องตัดสินใจที่จะปรับปรุงระบบให้มีความเชื่อถือได้สูงขึ้น โดยเพิ่มค่าใช้จ่ายในการลงทุนให้มากขึ้น ทำให้ไม่เหมาะสมที่จะนำวิธีการดังกล่าวมาใช้สำหรับการหาค่าความเชื่อถือได้ของระบบไฟฟ้ากำลังขนาดใหญ่

สำหรับวิธีการแก้ไขปัญหาสายส่งมีโหลดเกินที่เหมาะสมที่จะนำมาใช้สำหรับการหาค่าความเชื่อถือได้ของระบบไฟฟ้ากำลังขนาดใหญ่ ได้แก่ การจัดสรรกำลังผลิตใหม่ และ/หรือ การตัดโหลด

วิธีการกำหนดรูปแบบของการจัดสรรกำลังผลิตใหม่เพื่อแก้ไขปัญหสายส่งมีโหลดเกินมีอยู่หลายวิธีด้วยกัน ซึ่งวิธีการเหล่านี้ส่วนใหญ่จะใช้ข้อปติไมเซชันอัลกอริธึมต่ำที่สุด ในขณะที่ลดค่ากำลังไฟฟ้าที่ไหลในสายส่งที่มีโหลดเกินลง ซึ่งวิธีการเหล่านี้ไม่เหมาะสมที่จะนำมาใช้ในการหาความเชื่อถือได้ของระบบไฟฟ้ากำลังขนาดใหญ่เนื่องจากเหตุผลหลายประการ ได้แก่ [13,14]

1. ในการคำนวณหาค่าดัชนีความเชื่อถือได้ โดยการจำลองการขัดข้องของอุปกรณ์ต่าง ๆ นั้น จะพิจารณาถึงระดับแรงดันที่บัสต่าง ๆ กระแสไฟฟ้าที่ไหลในสายส่ง และอื่น ๆ แต่ไม่ได้คำนึงถึงต้นทุนการปฏิบัติการ การใช้ ออปติไมเซชันอัลกอริทึม จึงไม่มีความเหมาะสมและไม่มีความจำเป็น เนื่องจากต้องใช้เวลาในการคำนวณมากเกินไป

2. ในบางกรณีไม่สามารถที่จะแก้ไขปัญหาโหลดเกินในสายส่งได้โดยการจัดสรรกำลังผลิตใหม่เพียงอย่างเดียว แต่จะต้องใช้ร่วมกับวิธีการตัดโหลดอย่างเหมาะสม จึงจะสามารถแก้ไขปัญหาสายส่งมีโหลดเกินนี้ได้

สำหรับรูปแบบการตัดโหลดในทางปฏิบัตินั้นจะขึ้นอยู่กับสัญญาติญาณ, ประสบการณ์ และความคุ้นเคยที่มีต่อระบบของผู้ปฏิบัติงานเป็นสิ่งสำคัญ ซึ่งวิธีการเหล่านี้ไม่ได้มีการใช้พื้นฐานการคำนวณทางด้านคณิตศาสตร์ ซึ่งอาจจะทำให้เกิดการตัดโหลดจำนวนมากโดยไม่จำเป็นได้เมื่อนำมาใช้ในการหาค่าดัชนีความเชื่อถือได้ของระบบไฟฟ้ากำลังขนาดใหญ่ จะทำให้ได้ค่าดัชนีความเชื่อถือได้ที่สูงกว่าความเป็นจริง (Pessimistic indices)

สำหรับวิธีการหารูปแบบการจัดสรรกำลังผลิตใหม่และการตัดโหลด เพื่อแก้ไขปัญหาสายส่งมีโหลดเกินนั้นจะนำมาใช้ร่วมกับเทคนิคการวิเคราะห์โหลดฟลอร์ดด้วยวิธีนิวตัน-ราฟสัน และเทคนิคการวิเคราะห์โหลดฟลอร์ดด้วยวิธีฟาสต์ดีคัปเปิล [13,14] แต่ที่จะนำเสนอในที่นี้นั้นจะใช้ร่วมกับเทคนิคการวิเคราะห์โหลดฟลอร์ดด้วยวิธีฟาสต์ดีคัปเปิล (Fast decoupled load flow technique) โดยจะใช้หลักการที่ว่า การเปลี่ยนแปลงของกำลังไฟฟ้าที่ไหลในสายส่งจะเป็นผลมาจากการเปลี่ยนแปลงของขนาดและมุมเฟสของแรงดันบัส ส่วนการที่จะเปลี่ยนแปลงขนาดและมุมเฟสของแรงดันบัส ก็สามารถทำได้โดยเปลี่ยนแปลงค่ากำลังผลิตและโหลดที่บัสนั้น ดังนั้นการเปลี่ยนแปลงกำลังผลิตและโหลดที่บัสอย่างเหมาะสม ก็จะทำให้สามารถเปลี่ยนแปลงกำลังไฟฟ้าที่ไหลในสายส่งได้

สำหรับขั้นตอนของวิธีการจัดสรรกำลังผลิตใหม่และการตัดโหลดเพื่อระงับปัญหาสายส่งมีโหลดเกิน จะสร้างแบบจำลองทางคณิตศาสตร์ขึ้น 2 ชุด [13,14] ได้แก่

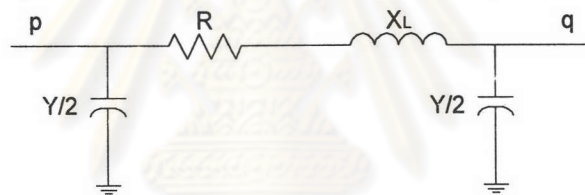
1. ความสัมพันธ์เชิงเส้นระหว่างกระแสในสายส่งกับตัวแปรสถานะ (Linear relationships between line current and state variables)

2. ความสัมพันธ์เชิงเส้นระหว่างการเพิ่มของกำลังผลิตและโหลดกับตัวแปรสถานะ (Linear relationships between generated power, loads and state variables)

โดยในการวิเคราะห์จะกำหนดให้ขนาดและมุมเฟสของแรงดันบัสเป็นตัวแปรสถานะ (State variables)

### 1. ความสัมพันธ์เชิงเส้นระหว่างกระแสในสายส่งกับตัวแปรสถานะ

โดยทั่วไป การวิเคราะห์ระบบไฟฟ้ากำลัง จะแทนสายส่งด้วยค่าพารามิเตอร์ 4 ค่า ได้แก่ค่าความต้านทานไฟฟ้า (Resistance) ค่าความเหนี่ยวนำไฟฟ้า (Inductance) ค่าความจุไฟฟ้า (Capacitance) และค่าความนำไฟฟ้า (Conductance) โดยที่ค่าความต้านทานไฟฟ้าและค่าความเหนี่ยวนำไฟฟ้าจะรวมกันเป็นค่าอิมพีแดนซ์อนุกรม (Series impedance) ของสายส่ง ส่วนค่าความจุไฟฟ้าและค่าความนำไฟฟ้า ก็จะรวมกันเป็นค่าแอดมิตแตนซ์ขนาน (Shunt admittance) ของสายส่งไปยังนิพจน์ โดยปกติค่าความนำไฟฟ้าของสายส่งจะมีค่าน้อย จึงไม่นำมาคิดเมื่อคำนวณหากระแสและแรงดัน และจะแทนสายส่งด้วยวงจรสมมูลย์แบบพาย ( $\pi$ ) ดังแสดงในรูปที่ ข.1



รูปที่ ข.1 วงจรสมมูลย์แบบพาย ( $\pi$ )

กระแสที่ไหลในสายส่งจากบัส  $p$  ไปยังบัส  $q$  จะเป็นฟังก์ชันของขนาดและมุมเฟสของแรงดันบัส ที่บัส  $p$  และบัส  $q$  ดังสมการที่ ข-1

$$\begin{aligned}
 I_{pq} &= \left[ (V_p \cos \delta_p - V_q \cos \delta_q) G_{pq} - (V_p \sin \delta_p - V_q \sin \delta_q) B_{pq} - B_c V_p \sin \delta_p \right] \\
 &\quad + j \left[ (V_p \sin \delta_p - V_q \sin \delta_q) G_{pq} + (V_p \cos \delta_p - V_q \cos \delta_q) B_{pq} + B_c V_p \cos \delta_p \right] \\
 &= I_r + jI_j \quad (\text{ข-1})
 \end{aligned}$$

โดยที่  $I_{pq}$  = กระแสที่ไหลในสายส่งจากบัส  $p$  ไปยังบัส  $q$

$G_{pq} + jB_{pq}$  = ค่าแอดมิตแตนซ์อนุกรม (Series admittance) ของสายส่งที่ต่อระหว่างบัส  $p$  กับบัส  $q$

$B_c$  = ครึ่งหนึ่งของไลน์ชาร์จจิ้งแอดมิตแตนซ์ (Half line charging admittance)

$I_r, I_j$  = ส่วนจริงและส่วนจินตภาพของ



ให้กระแสที่ไหลในสายส่งจากบัส p ไปยังบัส q มีค่าเป็น  $I_{pq}^0$  ซึ่งมีตัวแปรสถานะเป็น  $\delta_p^0, \delta_q^0, V_p^0$  และ  $V_q^0$  กำหนดให้ค่าพิกัดกระแสของสายส่งคือ  $I_{pq \max}$  สมมติว่า  $I_{pq}^0$  มีค่ามากกว่า  $I_{pq \max}$

ดังนั้นจะต้องหาค่าตัวแปรสถานะใหม่เป็น  $\delta_p, \delta_q, V_p$  และ  $V_q$  เพื่อลดค่ากระแสที่ไหลในสายส่งลงจาก  $I_{pq}^0$  เป็น  $I_{pq \max}$  เมื่อใช้การกระจายอนุกรมเทเลอร์ (Taylor series expansion) เพื่อกระจายฟังก์ชัน  $I_{pq}$  รอบ ๆ  $(\delta_p^0, \delta_q^0, V_p^0, V_q^0)$  และไม่คิดเทอมอันดับสองขึ้นไป และกำหนดให้

$\Delta I_{pq} = I_{pq \max} - I_{pq}^0$  เป็นกระแสเกิน จะได้ว่า  $\Delta I_{pq}$  มีค่าดังสมการที่ ข-2

$$\Delta I_{pq} = \left( \frac{\partial I_{pq}}{\partial \delta_p} \right) \Delta \delta_p + \left( \frac{\partial I_{pq}}{\partial \delta_q} \right) \Delta \delta_q + \left( \frac{\partial I_{pq}}{\partial V_p} \right) \Delta V_p + \left( \frac{\partial I_{pq}}{\partial V_q} \right) \Delta V_q \quad (\text{ข-2})$$

โดยที่  $\Delta \delta_p = \delta_p - \delta_p^0, \Delta \delta_q = \delta_q - \delta_q^0$

และ  $\Delta V_p = V_p - V_p^0, \Delta V_q = V_q - V_q^0$

จาก  $I_{pq} = \sqrt{I_r^2 + I_j^2}$  ดังนั้นจึงสามารถหา Partial derivative ของ  $I_{pq}$  ได้ จากสมการที่ ข-3 ถึง ข-6

$$\begin{aligned} \frac{\partial I_{pq}}{\partial \delta_p} &= \frac{I_r}{I_{pq}^0} \left( -G_{pq} V_p^0 \sin \delta_p^0 - B_{pq} V_p^0 \cos \delta_p^0 - B_c V_p^0 \cos \delta_p^0 \right) \\ &\quad + \frac{I_j}{I_{pq}^0} \left( G_{pq} V_p^0 \cos \delta_p^0 - B_{pq} V_p^0 \sin \delta_p^0 - B_c V_p^0 \sin \delta_p^0 \right) \end{aligned} \quad (\text{ข-3})$$

$$\begin{aligned} \frac{\partial I_{pq}}{\partial \delta_q} &= \frac{I_r}{I_{pq}^0} \left( G_{pq} V_q^0 \sin \delta_q^0 + B_{pq} V_q^0 \cos \delta_q^0 \right) \\ &\quad + \frac{I_j}{I_{pq}^0} \left( -G_{pq} V_q^0 \cos \delta_q^0 + B_{pq} V_q^0 \sin \delta_q^0 \right) \end{aligned} \quad (\text{ข-4})$$

$$\begin{aligned} \frac{\partial I_{pq}}{\partial V_p} &= \frac{I_r}{I_{pq}^0} \left( G_{pq} \cos \delta_p^0 - B_{pq} \sin \delta_p^0 - B_c \sin \delta_p^0 \right) \\ &\quad + \frac{I_j}{I_{pq}^0} \left( G_{pq} \sin \delta_p^0 + B_{pq} \cos \delta_p^0 + B_c \cos \delta_p^0 \right) \end{aligned} \quad (\text{ข-5})$$

$$\begin{aligned} \frac{\partial I_{pq}}{\partial V_q} &= \frac{I_r}{I_{pq}^0} \left( -G_{pq} \cos \delta_q^0 + B_{pq} \sin \delta_q^0 \right) \\ &\quad + \frac{I_j}{I_{pq}^0} \left( -G_{pq} \sin \delta_q^0 - B_{pq} \cos \delta_q^0 \right) \end{aligned} \quad (\text{ข-6})$$

พิจารณาระบบไฟฟ้ากำลัง ซึ่งประกอบไปด้วยบัสจำนวน  $n$  บัส สายส่งจำนวน  $l$  สายส่ง โดยมีสายส่งที่มีโหลดเกินเป็นจำนวน  $j$  สายส่ง เมื่อเขียนสมการสำหรับสายส่งที่มีโหลดเกินทุกสายส่งทำนองเดียวกับสมการที่ ข-2 จะได้ชุดของสมการซึ่งเขียนอยู่ในรูปเมตริกซ์ดังสมการที่ ข-7

$$\begin{bmatrix} \Delta I_1 \\ \Delta I_2 \\ \vdots \\ \Delta I_j \end{bmatrix} = \begin{bmatrix} A \end{bmatrix} \begin{bmatrix} \Delta \delta \\ \dots \\ \Delta V \end{bmatrix} \quad (\text{ข-7})$$

เมตริกซ์  $A$  จะมีจำนวนแถวเท่ากับจำนวนสายส่งที่มีโหลดเกิน ส่วนจำนวนหลัก (Column) ของเมตริกซ์  $A$  คือ  $2n-1$  ค่าส่วนใหญ่ในเมตริกซ์  $A$  จะเป็นศูนย์ โดยที่ในแต่ละแถวจะมีพจน์ที่มีค่าไม่เป็นศูนย์อยู่ไม่เกิน 4 พจน์ สำหรับเวกเตอร์  $[\Delta \delta, \Delta V]^T$  จะหมายถึงเวกเตอร์ของตัวแปรสถานะ และเนื่องจากในการศึกษาระบบไฟฟ้ากำลัง จะให้บัสสวิง (Swing bus) เป็นบัสอ้างอิง (Reference bus) ดังนั้นจะไม่นำค่าเพิ่มขึ้นของมุมเฟสของบัสสวิงมารวมไว้ในเวกเตอร์ของตัวแปรสถานะ ส่วนค่าที่เพิ่มขึ้นของขนาดแรงดันของทุกบัสจะถูกรวมอยู่ในเวกเตอร์ของตัวแปรสถานะในสมการที่ ข-7 ด้วย ดังนั้นเวกเตอร์ของตัวแปรสถานะจึงมีขนาดเท่ากับ  $2n-1$  เขียนสมการที่ ข-7 ใหม่ เพื่อใช้หาค่าเพิ่มขึ้นของตัวแปรสถานะได้ดังสมการที่ ข-8

$$\begin{bmatrix} \Delta \delta \\ \dots \\ \Delta V \end{bmatrix} = \begin{bmatrix} A \end{bmatrix}^{-1} \begin{bmatrix} \Delta I \end{bmatrix} \quad (\text{ข-8})$$

เนื่องจากเมตริกซ์  $A$  ไม่ได้เป็นเมตริกซ์จัตุรัส (Square matrix) แต่จะเป็นเมตริกซ์สี่เหลี่ยมผืนผ้า (Rectangular matrix) โดยจะมีจำนวนแถวเท่ากับจำนวนสายส่งที่มีโหลดเกิน และจำนวนหลักเท่ากับ  $2n-1$  จึงไม่สามารถหาอินเวอร์สของเมตริกซ์  $A$  ได้โดยตรง ทั้งนี้เนื่องจากเมตริกซ์ที่สามารถหาอินเวอร์สได้จะต้องเป็นเมตริกซ์จัตุรัสเท่านั้น ดังนั้นจึงต้องใช้แนวคิดของอินเวอร์สเทียม (Pseudoinverse) มาใช้ในการหาอินเวอร์สของเมตริกซ์  $A$  โดยสามารถหาอินเวอร์สเทียมของเมตริกซ์  $A$  ได้จากสมการที่ ข-9

$$A^+ = A^T(AA^T)^{-1} \quad (\text{ข-9})$$

โดยที่  $A^+$  = อินเวอร์สเทียมของเมตริกซ์  $A$

## 2. ความสัมพันธ์เชิงเส้นระหว่างการเพิ่มของกำลังผลิตและโหลดกับการเพิ่มขึ้นของตัวแปรสถานะ

กำลังไฟฟ้าที่ถูกจ่ายเข้าสู่บัส จะเป็นฟังก์ชันของขนาดและมุมเฟสของแรงดันบัส สมมติว่ามุมเฟสและขนาดของแรงดันบัส  $[\delta^0, V^0]^T$  สอดคล้องกับสมการโหลดโพลาร์เมื่อกำลังไฟฟ้าที่ถูกจ่ายเข้าสู่บัส  $j$  มีค่า  $P_j^0$  และ  $Q_j^0$  โดยใช้การกระจายอนุกรมเทเลอร์ กระจายฟังก์ชัน  $P_j$  และ  $Q_j$  รอบ ๆ  $[\delta^0, V^0]^T$  และไม่คิดเทอมอันดับสองขึ้นไป จะได้ดังสมการที่ ข-10 และสมการที่ ข-11 ตามลำดับ

$$\Delta P_j = \frac{\partial P_j}{\partial \delta_1} \Delta \delta_1 + \dots + \frac{\partial P_j}{\partial V_1} \Delta V_1 + \dots \quad (\text{ข-10})$$

$$\Delta Q_j = \frac{\partial Q_j}{\partial \delta_1} \Delta \delta_1 + \dots + \frac{\partial Q_j}{\partial V_1} \Delta V_1 + \dots \quad (\text{ข-11})$$

โดยที่  $\Delta P_j$  = ค่าเพิ่มขึ้นของกำลังจริงที่จ่ายเข้าบัส  $j$  ที่ต้องการ

$\Delta Q_j$  = ค่าเพิ่มขึ้นของกำลังรีแอกทีฟที่จ่ายเข้าบัส  $j$  ที่ต้องการ

เมื่อเขียนสมการแบบเดียวกับสมการที่ ข-10 และสมการที่ ข-11 สำหรับทุกบัสยกเว้น บัสสวิง โดยแสดงให้อยู่ในรูปเมตริกซ์ จะได้ดังสมการที่ ข-12 และสมการที่ ข-13 โดยในสมการที่ ข-13 จะใช้  $\Delta V/V$  แทน  $\Delta V$  ในเวกเตอร์ตัวแปรสถานะ

$$\begin{bmatrix} \Delta P \\ \dots \\ \Delta Q \end{bmatrix} = \begin{bmatrix} \partial P / \partial \delta & \vdots & \partial P / \partial V \\ \dots & \vdots & \dots \\ \partial Q / \partial \delta & \vdots & \partial Q / \partial V \end{bmatrix} \begin{bmatrix} \Delta \delta \\ \dots \\ \Delta V \end{bmatrix} \quad (\text{ข-12})$$

$$\begin{bmatrix} \Delta P \\ \dots \\ \Delta Q \end{bmatrix} = \begin{bmatrix} J' \end{bmatrix} \begin{bmatrix} \Delta \delta \\ \dots \\ \Delta V/V \end{bmatrix} \quad (\text{ข-13})$$

จากสมการที่ ข-13 จะเห็นว่าเหมือนกับสมการการวิเคราะห์โหนดโพลาร์โดยวิธีนิวตัน-ราฟสัน ดังนั้นเมื่อใช้หลักการของการวิเคราะห์โหนดโพลาร์แบบฟาสต์คัปเปิลมาประยุกต์ใช้จะทำให้สามารถแยกสมการที่ ข-13 ออกได้เป็นสมการ 2 ชุด คือ สมการที่ ข-14 และสมการที่ ข-15

$$[\Delta P/V] = [B'][\Delta \delta] \quad (\text{ข-14})$$

$$[\Delta Q/V] = [B''][\Delta V] \quad (\text{ข-15})$$

โดยสมการที่ ข-14 จะมีลักษณะเหมือนกับสมการที่ 3.14 ส่วนสมการที่ ข-15 จะคล้ายกับสมการที่ 3.15 (ในบทที่ 3) แต่จะมีการเพิ่มเติมสมการเข้าไปในส่วนของบัสควบคุมแรงดัน (Voltage controlled bus) เท่ากับจำนวนของบัสควบคุมแรงดัน ทำให้เมตริกซ์  $[B'']$  มีจำนวนสมาชิกมากกว่าเมตริกซ์  $[B']$  สำหรับ  $\Delta P$  และ  $\Delta Q$  ที่ใช้ในสมการที่ ข-14 และ ข-15 จะหมายถึงค่าเพิ่มขึ้นของกำลังไฟฟ้าที่จะจ่ายเข้าบัสที่ต้องการ เพื่อแก้ไขปัญหาสายส่งมีโหลดเกิน ไม่ได้หมายถึงค่าคลาดเคลื่อนของกำลังไฟฟ้า (Power mismatch)

กำลังไฟฟ้าที่จ่ายเข้าสู่บัสใด ๆ จะหมายถึงค่าแตกต่างระหว่างกำลังไฟฟ้าที่ผลิตที่บัสนั้นกับ โหลดที่ต่ออยู่กับบัสนั้น ค่าเพิ่มขึ้นของกำลังจริงที่จ่ายเข้าสู่บัส  $P_j$  ที่บัส  $j$  สามารถเขียนได้ดังสมการที่ ข-16

$$\begin{aligned} \Delta P_j &= \Delta P_{Gj} + \Delta P_{Lj} \\ &= (P'_{Gj} - P^0_{Gj}) - (P'_{Lj} - P^0_{Lj}) \end{aligned} \quad (\text{ข-16})$$

$$\text{เมื่อ } 0 \leq |\Delta P_{Gj}| \leq |\Delta P_j| \quad \text{และ} \quad 0 \leq |\Delta P_{Lj}| \leq |\Delta P_j|$$

โดยที่

$P^0_{Gj}$  = กำลังผลิตตามที่กำหนด (Scheduled generation) ที่บัส  $j$  ก่อนจะแก้ไขปัญหาสายส่งมีโหลดเกิน

$P_{Lj}^0$  = โหลดที่ติดอยู่กับบัส  $j$  ก่อนจะแก้ไขปัญหาสายส่งมีโหลดเกิน

$P_{Gj}^0$  = กำลังผลิตที่ต้องการที่บัส  $j$  เพื่อจะแก้ไขปัญหาสายส่งมีโหลดเกิน

$P'_{Lj}$  = กำลังจริงซึ่งสามารถจ่ายให้แก่บัส  $j$  ได้ หลังจากที่ได้แก้ไขปัญหาสายส่งมีโหลดเกินแล้ว

$\Delta P_{Gj}$  = ค่าเปลี่ยนแปลงของกำลังผลิตที่บัส  $j$  ที่ต้องการ เพื่อแก้ไขปัญหาสายส่งมีโหลดเกิน

$\Delta P_{Lj}$  = ค่าเปลี่ยนแปลงของโหลดที่บัส  $j$  ที่ต้องการ เพื่อจะแก้ไขปัญหาสายส่งมีโหลดเกิน

นอกจากนี้สามารถแยกสมการที่ ข-16 ออกได้เป็นสมการที่ ข-17 และสมการที่ ข-18

$$P'_{Gj} = P_{Gj}^0 + \Delta P_{Gj} \quad (\text{ข-17})$$

$$P'_{Lj} = P_{Lj}^0 - \Delta P_{Lj} \quad (\text{ข-18})$$

ที่บัสที่มีเครื่องกำเนิดไฟฟ้าต่ออยู่ จะเพิ่มกำลังผลิตขึ้นโดยใช้สมการที่ ข-17 ทั้งนี้กำลังผลิตจะเพิ่มขึ้นได้ไม่เกินค่ากำลังผลิตสำรองเดินเครื่อง (Spinning reserve) สูงสุด จากนั้นจึงพิจารณาการตัดโหลดโดยใช้สมการที่ ข-18 ส่วนที่บัสโหลด  $\Delta P_{Lj}$  จะมีค่าเท่ากับ  $\Delta P_j$  และจะใช้สมการที่ ข-18 ในการคำนวณค่าโหลดที่จะถูกตัด ส่วนสมการที่ ข-17 จะไม่ถูกนำมาใช้ที่บัสโหลด สำหรับกรณีของกำลังรีแอกทีฟ สามารถเขียนสมการได้ดังสมการที่ ข-19 และสมการที่

ข-20

$$Q'_{Gj} = Q_{Gj}^0 + \Delta Q_{Gj} \quad (\text{ข-19})$$

$$Q'_{Lj} = Q_{Lj}^0 - \Delta Q_{Lj} \quad (\text{ข-20})$$

เนื่องจากการผลิตกำลังรีแอกทีฟนั้น อาจจะไม่มีการผลิตที่บัสนั้นหรือหากผลิตได้ก็ไม่สามารถที่จะกำหนดกำลังผลิตได้ ดังนั้น  $\Delta Q_{Lj}$  ที่ทุกบัส จึงมีค่าเป็นศูนย์ ทำให้สมการที่ ข-19 ไม่

มีความจำเป็นในที่นี้ ส่วนสมการที่ ข-20 จะใช้ในการหาโหลดรีแอกทีฟที่จะต้องถูกตัด โดยให้  $\Delta Q_{Lj}$  เท่ากับ  $\Delta Q_j$

### ขั้นตอนการคำนวณเพื่อแก้ไขปัญหาสายส่งมีโหลดเกิน

การแก้ไขปัญหาสายส่งมีโหลดเกินด้วยวิธีการจัดสรรกำลังการผลิตใหม่และการตัดโหลด จะใช้สมการหลัก สมการที่ ข-21 ถึงสมการที่ ข-22 ตามลำดับ

$$[\Delta P/V] = [B'][\Delta \delta] \quad (\text{ข-21})$$

$$[\Delta Q/V] = [B''][\Delta V] \quad (\text{ข-22})$$

$$\begin{bmatrix} \Delta \delta \\ \dots \\ \Delta V \end{bmatrix} = \begin{bmatrix} & & \\ & A & \\ & & \end{bmatrix}^{-1} \begin{bmatrix} \Delta I \end{bmatrix} \quad (\text{ข-23})$$

$$[\Delta P/V] = [B'][\Delta \delta] \quad (\text{ข-24})$$

$$[\Delta Q/V] = [B'''][\Delta V] \quad (\text{ข-25})$$

สำหรับขั้นตอนการแก้ไขปัญหาสายส่งมีโหลดเกินโดยใช้วิธีการจัดสรรกำลังการผลิตใหม่และการตัดโหลด จะมีขั้นตอนการคำนวณดังต่อไปนี้

1. คำนวณโหลดโพลาร์เริ่มต้น โดยใช้สมการที่ ข-21 และสมการที่ ข-22
2. คำนวณหากระแสในสายส่ง ถ้าไม่มีสายส่งใดมีโหลดเกินให้ข้ามไปยังขั้นที่ 10 ถ้าจำนวนรอบในการคำนวณเกินกว่าค่าที่กำหนดไว้ให้ข้ามไปยังขั้นที่ 9 ส่วนกรณีอื่นให้ทำในขั้นที่ 3
3. สร้างเมตริกซ์  $A$  , เมตริกซ์  $A^+$  จากสมการที่ ข-9 และเวกเตอร์กระแสเกิน  $[I]$
4. คำนวณหาค่าเพิ่มขึ้นของมุมเฟสและขนาดของแรงดันบัส โดยใช้สมการที่ ข-23
5. คำนวณหา  $[\Delta P/V]$  และ  $[\Delta Q/V]$  โดยใช้สมการที่ ข-24 และ ข-25
6. คำนวณหาการจัดสรรกำลังผลิตและโหลดใหม่

7. คำนวณหาค่าของตัวแปรสถานะใหม่ โดยใช้ค่าเพิ่มขึ้นของมุมเฟสและขนาดของแรงดันบัสที่ได้จากขั้นที่ 4

8. คำนวณโหลดโพลีโดยใช้ค่าแรงดันบัส, กำลังผลิตและโหลดค่าล่าสุด แล้วกลับไปยังขั้นที่ 2

9. ตัดโหลดที่บัสที่ต่ออยู่กับสายส่งที่มีโหลดเกินซึ่งกำลังไฟฟ้าไหลเข้าสู่บัสนั้น เป็นจำนวนเท่ากับ MVA ที่เกิน และลดกำลังผลิตที่บัสที่ต่อกับสายส่งนั้นซึ่งจ่ายกำลังไฟฟ้าเข้าสายส่งเป็นจำนวน MVA ที่เกิน

10. คำนวณหากำลังผลิตที่บัสสวิง ถ้าไม่เกินค่าพิกัดจะจบการคำนวณ แต่ถ้าเกินค่าพิกัด ให้ตัดโหลดที่บัสสวิง และ/หรือ บัสที่กำลังไฟฟ้าไหลไปจากบัสสวิง (บัสที่ต่อกับบัสสวิง)

การคำนวณจากขั้นที่ 2 ถึงขั้นที่ 8 จะถือว่าเป็นรอบของการแก้ไขปัญหาสายส่งมีโหลดเกิน ซึ่งในการคำนวณจะกำหนดจำนวนรอบสูงสุดเอาไว้ค่าหนึ่ง เพื่อเป็นการจำกัดเวลาในการคำนวณ สำหรับการคำนวณหาการจัดสรรกำลังผลิตและโหลดใหม่ในขั้นที่ 6 นั้น สามารถคำนวณได้โดยใช้สมการที่ ข-26 ถึง ข-29

- กรณีบัสที่มีเครื่องกำเนิดไฟฟ้าต่ออยู่  $i$  ( $i \neq$  บัสสวิง)

$$P_{G_{i_{\text{new}}}} = P_{G_{i_{\text{old}}}} + \Delta P_i \quad (\text{ข-26})$$

$$P_{L_{i_{\text{new}}}} = P_{L_{i_{\text{old}}}} - \left[ \Delta P_i - (P_{G_{i_{\text{new}}}} - P_{G_{i_{\text{max}}}}) \right] \quad (\text{ข-27})$$

เมื่อ  $P_{G_{i_{\text{new}}}} > P_{G_{i_{\text{max}}}}$

โดยที่  $0 \leq P_{G_{i_{\text{new}}}} \leq P_{G_{i_{\text{max}}}}$  และ  $0 \leq P_{L_{i_{\text{new}}}} \leq P_{L_{i_{\text{max}}}}$

- กรณีที่โหลดบัส  $i$

$$P_{L_{i_{\text{new}}}} = P_{L_{i_{\text{old}}}} - \Delta P_i \quad (\text{ข-28})$$

โดยที่  $0 \leq P_{L_{i_{\text{new}}}} \leq P_{L_{i_{\text{max}}}}$

- ที่บัสใด ๆ (ยกเว้นบัสสวิง)

$$Q_{L_{i_{\text{new}}}} = Q_{L_{i_{\text{old}}}} - \Delta Q_i \quad (\text{ข-29})$$

โดยที่  $0 \leq Q_{L_{i_{\text{new}}}} \leq Q_{L_{i_{\text{max}}}}$  เมื่อโหลดกำหนดเริ่มต้นเป็นแบบอินดักทีฟ  
 $P_{L_{i_{\text{min}}}} \leq P_{L_{i_{\text{new}}}} \leq 0$  เมื่อโหลดกำหนดเริ่มต้นเป็นแบบคะปาซิทีฟ

กำหนดให้  $P_{G_{i_{\text{max}}}}$  คือ ผลรวมของกำลังผลิตและกำลังผลิตสำรองเดินเครื่อง ที่บัส  $i$   
 $P_{L_{i_{\text{max}}}}$  คือ โหลดกำลังจริงที่กำหนดเริ่มต้น ที่บัส  $i$



ศูนย์วิทยทรัพยากร  
 จุฬาลงกรณ์มหาวิทยาลัย



## ภาคผนวก ค

### การปรับเมตริกซ์ผกผันเมื่อมีการเปลี่ยนแปลงสมาชิกหนึ่งตัวในเมตริกซ์ที่กำหนดให้ (Adjustment of an inverse matrix corresponding to a change in one element of a given matrix)

มีวิธีการอยู่หลายวิธีที่ใช้ในการคำนวณหาเมตริกซ์ผกผัน (Inverse matrix) เช่น วิธี Co-factor วิธี Gauss elimination วิธี Gauss-Jordan เป็นต้น โดยที่เวลาที่ใช้ในการคำนวณด้วยวิธีการเหล่านี้จะเพิ่มสูงขึ้นเมื่อ อันดับ (Order) ของเมตริกซ์ หรือขนาดของเมตริกซ์ใหญ่ขึ้น ยกตัวอย่างเช่น เวลาที่ใช้ในการคำนวณหาเมตริกซ์ผกผันขนาด  $5 \times 5$  จะมากกว่าเวลาที่ใช้ในการคำนวณหาเมตริกซ์ผกผันขนาด  $3 \times 3$

ในกรณีที่ต้องการคำนวณหาอินเวอร์สของเมตริกซ์ใหม่จากเมตริกซ์เก่าที่มีการเปลี่ยนแปลงสมาชิกภายในบางตัวนั้นถ้าใช้วิธีการต่าง ๆ ที่กล่าวมาข้างต้นจะทำให้เสียเวลา ดังนั้น Jack Sherman และ Winifred J. Morrison [20] นักคณิตศาสตร์ชาวสหรัฐอเมริกาจึงได้คิดวิธีการปรับปรุงเมตริกซ์ผกผันเก่า (Original matrix) ที่ได้จากการทำอินเวอร์สของเมตริกซ์ก่อนเกิดการเปลี่ยนแปลงในสมาชิกภายในเพื่อให้ได้เมตริกซ์ผกผันใหม่

#### ค.1 วิธีการคำนวณ

กำหนดให้

$a_{ij}$  เป็นสมาชิกของเมตริกซ์  $a$  ซึ่งมีขนาด  $n \times n$

$b_{ij}$  เป็นสมาชิกของเมตริกซ์  $b$  โดยที่ เมตริกซ์  $b$  เป็นเมตริกซ์ผกผันของ  $a$

$A_{ij}$  เป็นสมาชิกของเมตริกซ์  $A$  โดยที่ เมตริกซ์  $A$  มีสมาชิกเหมือนกับเมตริกซ์  $a$

ยกเว้นสมาชิกแถวที่  $R$  และหลักที่  $S$  ( $A_{RS}$ ) ในเมตริกซ์  $A$  เท่านั้นที่มีค่าแตกต่างกัน

$B_{ij}$  เป็นสมาชิกของเมตริกซ์  $B$  โดยที่ เมตริกซ์  $B$  เป็นเมตริกซ์ผกผันของ  $A$

โดยที่ กำหนดให้

$$A_{RS} = a_{RS} + \Delta a_{RS}$$

ดังนั้นการหาสมาชิกในเมตริกซ์ B จากค่า  $\Delta a_{RS}$  และเมตริกซ์ b จะหาได้จากสมการ

$$B_{rj} = b_{rj} - \frac{b_{rR} b_{Sj} \Delta a_{RS}}{1 + b_{SR} \Delta a_{RS}} \quad (\text{ค.1})$$

โดยที่  $r=1,2,3,\dots,n$  และ  $j=1,2,3,\dots,n$  และ  $1 + b_{SR} \Delta a_{RS} \neq 0$

ความถูกต้องของสมการที่ ค.1 จะสามารถแสดงได้โดยการ คูณ สมการที่ ค.1 ด้วย  $A_r$  ( $r=1,2,3,\dots,n$ ) ทั้งสองข้างจะได้ว่า

$$\sum_{r=1}^n A_{ir} B_{rj} = \sum_{r=1}^n A_{ir} b_{rj} - \frac{b_{Sj} \Delta a_{RS}}{1 + b_{SR} \Delta a_{RS}} \sum_{r=1}^n A_{ir} b_{rR} \quad (\text{ค.2})$$

เมื่อ  $i=1,2,3,\dots,n$  และ  $j=1,2,3,\dots,n$

จากสมการที่ ค.2 แยกพิจารณาเป็น 2 กรณี คือ กรณีที่  $i \neq R$  และกรณีที่  $i = R$   
กรณีที่  $i \neq R$  สมมติให้  $A_r = a_r$  ดังนั้นจากสมการ ค.2 จะได้ว่า

$$\sum_{r=1}^n A_{ir} B_{rj} = \sum_{r=1}^n a_{ir} b_{rj} - \frac{b_{Sj} \Delta a_{RS}}{1 + b_{SR} \Delta a_{RS}} \sum_{r=1}^n a_{ir} b_{rR} \quad (\text{ค.3})$$

เมื่อ  $i=1,2,3,\dots,R-1,R+1,\dots,n$  และ  $j=1,2,3,\dots,n$

และเนื่องจากเมตริกซ์ a และเมตริกซ์ b เป็นเมตริกซ์ผกผันซึ่งกันและกันจึงทำให้ผล  
บวกพจน์สุดท้าย เป็นศูนย์ จะได้ว่า

$$\sum_{r=1}^n A_{ir} B_{rj} = \sum_{r=1}^n a_{ir} b_{rj} \quad (\text{ค.4})$$

โดยที่  $i = 1, 2, 3, \dots, R-1, R+1, \dots, n$  และ  $j = 1, 2, 3, \dots, n$

กรณีที่  $i = R$  จากสมการที่ ค.2 จะได้ว่า

$$\sum_{r=1}^n A_{Rr} B_{Rj} = \sum_{r=1}^n A_{Rr} b_{rj} - \frac{b_{Sj} \Delta a_{RS}}{1 + b_{SR} \Delta a_{RS}} \sum_{r=1}^n A_{Rr} b_{rR} \quad (\text{ค.5})$$

โดยที่  $j = 1, 2, 3, \dots, n$

และเนื่องจากในแต่ละพจน์ที่เป็นผลบวกจะมีกรณีหนึ่งคือ  $r = S$  แล้วทำให้  $A_{RS} = a_{RS} + \Delta a_{RS}$  ส่วนกรณีอื่น ๆ  $A_{RS}$  จะเท่ากับ  $a_{RS}$  ดังนั้นสมการที่ ค.5 สามารถเขียนได้ใหม่ดังนี้

$$\sum_{r=1}^n A_{Rr} B_{Rj} = \sum_{r=1}^n a_{Rr} b_{rj} + \Delta a_{RS} b_{Sj} - \left( \frac{b_{Sj} \Delta a_{RS}}{1 + b_{SR} \Delta a_{RS}} \right) \left( \sum_{r=1}^n a_{Rr} b_{rR} + \Delta a_{RS} b_{SR} \right) \quad (\text{ค.6})$$

โดยที่  $j = 1, 2, 3, \dots, n$

และเนื่องจากเมตริกซ์  $a$  และเมตริกซ์  $b$  เป็นเมตริกซ์ผกผันซึ่งกันและกันจึงทำให้ผลบวกของพจน์ที่สองทางขวามือของสมการที่ ค.6 มีค่าเป็น 1 (Unity) จึงทำให้สมการที่ ค.6 กลายเป็น

$$\sum_{r=1}^n A_{Rr} B_{rj} = \sum_{r=1}^n a_{Rr} b_{rj} \quad (\text{ค.7})$$

โดยที่  $j = 1, 2, 3, \dots, n$

ดังนั้นจากสมการ ค.4 และสมการ ค.7 สามารถเขียนรวมกันเป็นสมการเดียวได้ดังนี้

$$\sum_{r=1}^n A_{ir} B_{rj} = \sum_{r=1}^n a_{ir} b_{rj} \quad (\text{ค.8})$$

โดยที่  $i = 1, 2, 3, \dots, n$  และ  $j = 1, 2, 3, \dots, n$

นั่นแสดงว่าเมตริกซ์ B เป็นอินเวอร์สของเมตริกซ์ A จึงทำให้สมการที่ ค.1 ถูกต้อง

## ค.2 ตัวอย่างการคำนวณ

เพื่อให้สะดวกต่อการคำนวณจะจัดแบ่งสมการ ค.1 เป็นดังนี้

- กรณี  $r = S$  จะได้ว่า

$$B_{sj} = \frac{b_{sj}}{1 + b_{SR} \Delta a_{RS}} \quad (\text{ค.9})$$

เมื่อ  $j = 1, 2, 3, \dots, n$

- กรณี  $j = R$  จะได้ว่า

$$B_{rR} = \frac{b_{rR}}{1 + b_{SR} \Delta a_{RS}} \quad (\text{ค.10})$$

เมื่อ  $r = 1, 2, 3, \dots, n$

- กรณีอื่น ๆ

$$B_{ij} = b_{ij} - B_{rR} b_{sj} \Delta a_{RS} \quad (\text{ค.11})$$

โดยที่  $r = 1, 2, 3, \dots, S-1, S+1, \dots, n$

และ  $j = 1, 2, 3, \dots, R-1, R+1, \dots, n$

สมการ ค.10 และสมการ ค.11 แสดงให้เห็นว่าสมาชิกในแถวที่ S และหลักที่ R ของเมตริกซ์ B จะเป็นสัดส่วนและสอดคล้องกับสมาชิกในเมตริกซ์ b

- พิจารณาเมตริกซ์ต่อไปนี้

$$a = \begin{bmatrix} 2.384 & 1.238 & 0.861 & 2.413 \\ 0.648 & 1.113 & 0.761 & 0.137 \\ 1.119 & 0.643 & 3.172 & 1.139 \\ 0.745 & 2.137 & 1.268 & 0.542 \end{bmatrix}$$

เมตริกซ์ผกผันของ a คือ b จะมีค่า

$$b = \begin{bmatrix} 0.2220 & 2.5275 & -0.1012 & -1.4145 \\ -0.04806 & -0.2918 & -0.1999 & 0.7079 \\ -0.1692 & 0.01195 & 0.3656 & -0.01824 \\ 0.2801 & -2.3517 & 0.07209 & 1.0409 \end{bmatrix}$$

สมมติว่าสมาชิก  $a_{24}$  ของเมตริกซ์ a เพิ่มขึ้น 0.4 นั่นคือ

$$A = \begin{bmatrix} 2.384 & 1.238 & 0.861 & 2.413 \\ 0.648 & 1.113 & 0.761 & \mathbf{0.537} \\ 1.119 & 0.643 & 3.172 & 1.139 \\ 0.745 & 2.137 & 1.268 & 0.542 \end{bmatrix}$$

จะได้ว่า  $\Delta a_{RS} = 0.4$  และ  $R = 2, S = 4$

ดังนั้นจะหาสมาชิกของ B ได้จากสมการ ค.9 นั่นคือ

$$B_{4j} = \frac{b_{4j}}{1 - 2.3517 \times 0.4} = 16.858b_{4j} \quad (j = 1, 2, 3, 4)$$

จากสมการ ค.10 จะได้

$$B_{r2} = \frac{b_{r2}}{1 - 2.3517 \times 0.4} = 16.858b_{r2} \quad (r = 1, 2, 3, 4)$$

และจากสมการ ค.11 จะได้

$$B_{rj} = b_{rj} - 0.4B_{r2}b_{4j} \quad (r = 1, 2, 3) \text{ และ } (j = 1, 3, 4)$$

$$\text{จะได้ว่า } B_{41} = 16.858 \times 0.2801 = 4.7218$$

$$B_{42} = 16.858 \times (-2.3517) = -39.644$$

$$B_{12} = 16.858 \times 2.5275 = 42.608$$

$$B_{22} = 16.858 \times (-0.2918) = -4.919$$

$$B_{11} = 0.222 - 0.4 \times 42.608 \times 0.2801 = -4.5518$$

$$B_{21} = -0.04806 - 0.4 \times (-4.9191) \times 0.2801 = 0.5031$$

สมาชิกตัวอื่น ๆ ก็หาได้ในทำนองเดียวกันซึ่งจะได้เมตริกซ์ B คือ

$$B = \begin{bmatrix} -4.5518 & 42.608 & -1.3298 & -19.155 \\ 0.5031 & -4.9191 & -0.05805 & 2.7560 \\ -0.1919 & 0.2014 & 0.3598 & -0.1021 \\ 4.7218 & -39.644 & 1.2153 & 17.547 \end{bmatrix}$$

สำหรับกรณีที่สมาชิกในเมตริกซ์ a มีการเปลี่ยนแปลงมากกว่า 1 ตัว การหาเมตริกซ์ผกผันของ a ทำได้โดยการคำนวณต่อเนื่อง (Successive) จากเมตริกซ์ผกผันที่ได้ใหม่นี้ต่อไป

## ประวัติผู้เขียน

นายวิโรจน์ บัวคลี่ เกิดเมื่อวันที่ 26 สิงหาคม พ.ศ. 2515 ที่ อำเภอเมือง จังหวัดตราด สำเร็จการศึกษาปริญญาวิศวกรรมศาสตรบัณฑิต (เกียรตินิยมอันดับสอง) สาขาวิศวกรรมไฟฟ้า คณะวิศวกรรมศาสตร์ สถาบันเทคโนโลยีพระจอมเกล้าธนบุรี เมื่อปี พ.ศ. 2537 จากนั้นเข้าทำงาน ตำแหน่งวิศวกรระดับ 4 ฝ่ายวิศวกรรม การไฟฟ้าส่วนภูมิภาค บางเขน ต่อมาได้ลาเข้าศึกษาต่อใน หลักสูตรปริญญาวิศวกรรมศาสตรมหาบัณฑิต ภาควิชาวิศวกรรมไฟฟ้า สาขาวิศวกรรมไฟฟ้ากำลัง (Power System Simulation) ที่จุฬาลงกรณ์มหาวิทยาลัย ในปี พ.ศ. 2538



ศูนย์วิทยพัชการ  
จุฬาลงกรณ์มหาวิทยาลัย